

Н. П. Савенкова, А. Ю. Мокин, В. П. Ильютко

СПЕКТРАЛЬНЫЙ МЕТОД ИССЛЕДОВАНИЯ ЗАВИСИМОСТИ МГД СТАБИЛЬНОСТИ ЭЛЕКТРОЛИЗНОЙ ВАННЫ ОТ ФОРМЫ ГАРНИСАЖА

Введение

Проблема МГД - стабильности электролиза алюминия является одной из важнейших для решения задачи увеличения выхода алюминия по току, поскольку возникновение волн на поверхности раздела расплавов приводит к их перемешиванию и потерям металла. При этом автоматизированное управление процессом позволяет предупредить волнообразование и не допустить обратного окисления алюминия.

Существуют разные методы исследования МГД - стабильности электролизной ванны. Одним из наиболее эффективных методов признан критерий Бояревича-Ромерио [1], в основе которого находится идея выбора пары ведущих мод для разложения функции, описывающей границу раздела сред металл-электролит. Однако выбор пары ведущих мод сделать однозначно, как правило, не удастся. Поэтому актуальной представляется возможность увеличить МГД-стабильность ванны за счет выбора оптимальной формы рабочего пространства, тем более, что сами ФРП формируют заранее в процессе ввода ванны в эксплуатацию.

В настоящей работе исследуется зависимость разделенности (т.е. величины расстояния между соседними собственными значениями) спектра двумерной задачи на собственные значения от вида границы области решения задачи и обсуждаются возможности использования полученного результата к изучению влияния ФРП электролизной ванны на МГД - стабильность ванны с целью выбора оптимальной формы рабочего пространства ванны.

О зависимости МГД - стабильности ванны от формы ФРП

В качестве критерия для определения порога устойчивости электролизера в производственных АСУТП используется критерий Бояревича-Ромерио. Критическое МПР (см. [3]) по этому критерию для конкретной ванны может быть выражено через

$$h_{\text{мпр}} = A(l) \frac{I_c^2}{(\rho_m - \rho_{\text{э}}) h_m},$$

где

$$A(l) = \frac{\varepsilon_{\mathbf{k}'}\varepsilon_{\mathbf{k}}}{2L_xL_yI_0} \left[\frac{n'm - nm'}{L_xL_y} (I(m' + m, n' + n, l) - I(m' - m, n' - n, l)) + \frac{n'm + nm'}{L_xL_y} (I(m' + m, n' - n, l) - I(m' - m, n' + n, l)) \right] * \left[g\pi^2 \sqrt{\left(\frac{(m')^2}{L_x^2} + \frac{(n')^2}{L_y^2}\right) \left(\frac{m^2}{L_x^2} + \frac{n^2}{L_y^2}\right) \left(\frac{(m')^2 - m^2}{L_x^2} + \frac{(n')^2 - n^2}{L_y^2}\right)} \right],$$

где Фурье-компоненты вертикальной составляющей магнитного поля в зависимости от длины настыли Γ обозначены через

$$I(m, n, l) = \frac{4}{L_xL_y} \int_{\Gamma} B_z(x, y, l) \sin \frac{\pi mx}{L_x} \sin \frac{\pi ny}{L_y} dx dy.$$

здесь (m, n) и (m', n') две ведущие пары мод.

На практике существует неопределенность в выборе ведущих пар мод. Применение высоко адекватного 3-D математического моделирования, учитывающего реальную геометрию ванны и взаимосвязь полей распределения скоростей в средах металл - электролит с электромагнитными полями и индуцированными токами во времени (см. [4], [5]), позволяет снять эту неопределенность для конкретной ванны с фиксированной ФРП. Однако подобные численные расчеты весьма трудоемки. В работах [4], [5], [6] исследовалось влияние формы рабочего пространства на МГД - стабильность ванны, численные эксперименты выявили существование зависимости МГД-стабильности от ФРП ванны.

Выделение пар ведущих мод в критерии Бояревича-Ромерио навело авторов статьи на мысль о возможности подбора оптимальных форм настыли и гарнисажа ванны, при которых работа ванны будет наиболее МГД-стабильна.

Пусть в критерии устойчивости Бояревича-Ромерио ведущим модам соответствуют собственные значения λ_1 и λ_2 задачи Штурма-Лиувилля, которая выписана для динамического уравнения колебания границы раздела сред алюминий-электролит $h(x, t)$. Поскольку МГД нестабильность развивается на малых временах, то будем считать, что $0 < t < 1$.

Пусть

$$0 < \lambda_1 < \lambda_2$$

и $f_1(x)$, $f_2(x)$ - соответствующие им собственные функции.

Обозначим через $\delta > 0$ величину

$$\delta = \lambda_2 - \lambda_1.$$

Тогда для амплитуды границы раздела сред $h(x, t)$ выполняется

$$\begin{aligned} h(x, t) &= C_1 f_1(x) e^{\lambda_1 t} + C_2 f_2(x) e^{\lambda_2 t} = \\ &= e^{-(\lambda_2 - \lambda_1)t} (C_1 f_1(x) e^{(\lambda_2 - 2\lambda_1)t} + C_2 f_2(x) e^{-\lambda_1 t}). \end{aligned}$$

Поскольку

$$e^{-\delta t} = 1 - \delta t + o(t^2), \quad e^{-\delta t} \approx 1 - \delta t, \quad 0 < t < 1,$$

то в силу ограниченности собственных функций $f_1(x)$ и $f_2(x)$ константами, можно считать, что

$$\begin{aligned} h(x, t) &\approx e^{-\delta t} (C_1 f_1(x) (1 - (\lambda_2 - 2\lambda_1)t) + C_2 f_2(x) (1 - \lambda_1 t)) = \\ &= e^{-\delta t} (C_1 f_1(x) + C_2 f_2(x) - t(C_1 f_1(x)(\lambda_2 - 2\lambda_1) + C_2 f_2(x)\lambda_1)) \approx \\ &\approx (M_1 + M_2 t) e^{-\delta t}, \end{aligned}$$

где M_1 и M_2 - константы, не зависящие от (x, t) . Следовательно, на малых временах t функция $h(x, t)$ будет вести себя также, как и функция

$$g(\xi) = (C_1 + C_2 \xi) e^{-\delta \xi}, \quad 0 < \xi < 1, \quad g(0) = g_0,$$

для которой характерен «всплеск» в окрестности нуля. При этом, чем больше величина δ , тем ниже будет всплеск функции $h(x, t)$, т.е. слабее МГД - неустойчивость ванны.

Поскольку номер ведущей моды неизвестен, то ясно, что для сохранения МГД - устойчивости ванны необходимо выбрать ФРП такой, чтобы выполнялось соотношение

$$\delta = \delta^* = \max_{\{\Gamma\}} \min_{i \neq j} |\lambda_i - \lambda_j|,$$

где $\{\Gamma\}$ - множество всевозможных контуров границы рабочего пространства G .

Аналогичные рассуждения справедливы в случае, если λ_1 и λ_2 — комплексные:

$$\delta^* = \max_{\{\Gamma\}} \min_{i \neq j} |Re(\lambda_i) - Re(\lambda_j)|.$$

Начнем изучение поставленного вопроса на примере модельной двумерной задачи.

Дифференциальная постановка двумерной модельной задачи на собственные значения.

Рассмотрим альтернативный подход исследования МГД стабильности зависимости от ФРП ванны, заключающийся в следующем. Пусть решается следующая задача на собственные значения для оператора Лапласа в области G (G - соответствует сечению рабочего пространства на границе раздела сред алюминий-электролит) с нулевыми граничными условиями первого рода на замкнутой границе $\Gamma = \partial G$ (см.[7], [9]):

$$\frac{\partial^2 u(x_1, x_2)}{\partial x_1^2} + \frac{\partial^2 u(x_1, x_2)}{\partial x_2^2} = -\lambda u(x_1, x_2), \quad (x_1, x_2) \in G; \quad (1)$$
$$u(x_1, x_2) = 0, \quad (x_1, x_2) \in \Gamma = \partial G.$$

Требуется найти минимум модуля разности двух различных собственных значений для выбранной области решения G . И далее найти максимум среди всех минимумов полученных результатов для различных областей G , имеющих постоянную площадь.

Рассмотрим разностную аппроксимацию задачи (1):

$$y_{\bar{x}_1 x_1, ij} + y_{\bar{x}_2 x_2, ij} = -\bar{\lambda} y_{ij}, \quad x_{ij} \in \Omega_h; \quad (2)$$
$$y_{ij} = 0, \quad x_{ij} \in \gamma_h.$$

Здесь x_{ij} - узел расчетной сетки, соответствующей точке с координатами (x_{1i}, x_{2j}) области G на плоскости Ox_1x_2 . Считаем, что на границе области решение принимает нулевые значения. Внутри области решения G данное уравнение имеет второй порядок аппроксимации (сетка равномерная с шагами h_1 и h_2 по направлению x_1 и x_2 соответственно). Вблизи границы области решения G сетка неравномерная (см.[8]).

Обозначим через $\bar{\lambda}_i(G)$, $i = 1, 2, \dots, M$ - собственные значения задачи (2).

Введем величину:

$$\bar{R}_\lambda(G) = \min_{i \neq j} |Re(\bar{\lambda}_i) - Re(\bar{\lambda}_j)|, \quad i, j = 1, 2, \dots, M.$$

На рис. 1 представлены два семейства четырехугольных областей. В области G_1 стороны AD и CB параллельны, а стороны AB и CD одинаково выпуклы (вогнуты). В области G_2 все четыре стороны одинаково выпуклы (вогнуты).

Начало координат находится внутри областей G_i , $i = 1, 2$. Пусть G_i задаются уравнением:

$$|x|^\alpha + |y|^\alpha = a^\alpha, \quad a > 0 \quad (3).$$

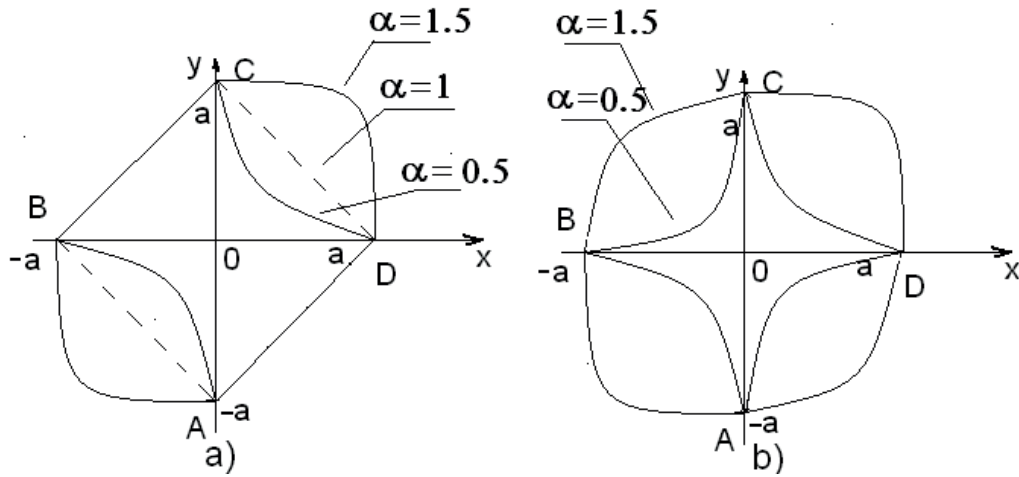


Рис. 1. Вид расчетной области (ФРП) G : а) — геометрия области G_1 для различных значений параметра α ; б) — геометрия области G_2 для различных значений параметра α

Для области G_1 параметр α определим следующим образом: если точка (x, y) принадлежит первой или третьей четвертям, то параметр $\alpha \neq 1$ и $\alpha = 1$ во второй и четвертой четвертях.

Таким образом, степень выпуклости (вогнутости) областей $G_i, i = 1, 2$ определяется величиной параметра α .

Выделим следующие три случая для параметра выпуклости области α :

1. $\alpha \in (0, 1)$ (соответствует семейству областей G_i , у которых стороны вогнуты во внутрь);
2. $\alpha \in (1, 3)$ (соответствует семейству областей G_i , у которых стороны выпуклы наружу);
3. $\alpha = 1$ (соответствует семейству прямоугольных областей).

Замечание. Значения параметра выпуклости области α близкое к нулю не вызывает интерес данного исследования.

Пусть

$$\alpha_{i,1}^* = \arg \max_{\alpha \in (0,1)} \bar{R}_\lambda(G_i),$$

$$\alpha_{i,2}^* = \arg \max_{\alpha \in (1,3)} \bar{R}_\lambda(G_i),$$

$$\alpha_{i,3}^* = \arg \max_{\alpha=1} \bar{R}_\lambda(G_i)$$

являются оптимальными значениями параметра α для каждого семейства областей $G_i, i = 1, 2$ и для каждого из трех случаев выпуклости по параметру α . Тогда

$$\bar{R}_\lambda(G_i(\alpha_{i,1}^*)) = \max_{\alpha \in (0,1)} \bar{R}_\lambda(G_i),$$

$$\bar{R}_\lambda(G_i(\alpha_{i,2}^*)) = \max_{\alpha \in (1,3)} \bar{R}_\lambda(G_i),$$

$$\bar{R}_\lambda(G_i(\alpha_{i,3}^*)) = \max_{\alpha=1} \bar{R}_\lambda(G_i).$$

В таблице 1 представлены результаты численных расчетов оптимальных значений параметра выпуклости, которые найдены при помощи QR - алгоритма (см. [10]).

Таблица 1. Оптимальные значения параметра выпуклости ($a = 1$, $h_1 = h_2 = 0.04$.)

	G_1	G_2
$\alpha \in (0, 1)$	$\alpha_{1,1}^* = 0.5, \bar{R}_\lambda(G_1) \approx 2.5$	$\alpha_{2,1}^* = 0.35, \bar{R}_\lambda(G_2) \approx 1.5$
$\alpha \in (1, 3)$	$\alpha_{1,2}^* = 1.8, \bar{R}_\lambda(G_1) \approx 1.5$	$\alpha_{2,2}^* \approx 2, \bar{R}_\lambda(G_2) \approx 0.5$

Численные эксперименты показали, что дальнейшее измельчение шага h сетки в областях G_i существенного изменения величины оптимального параметра не дает.

Из таблицы 1 видно, что в семействе областей G_i существует оптимальное значение параметра выпуклости, соответствующее области G_1 ($\alpha_{1,1}^* = 0.5$), которому соответствует значение $\bar{R}_\lambda(G_1) \approx 2.5$. ФРП в данном случае имеет вид фигуры с двумя вогнутыми вовнутрь противоположными сторонами (см. рисунок 1а при $\alpha = 0.5$).

Заключение.

Проведенные исследования показали, что при изучение МГД-стабильности электролизной ванны представляется актуальным исследование разделенности спектра двумерной задачи на собственные значения в области с замкнутой границей, соответствующей плоскому сечению ванны. При этом задача на собственные значения возникает при решения кинематического уравнения для поверхности раздела сред алюминий-электролит $h(x, y, t)$.

На основе проведенных численных расчетов можно сделать вывод о том, что существует оптимальная форма рабочего пространства, соответствующая наиболее стабильному режиму работы ванны. Это хорошо согласуется с известными наблюдениями на производстве за МГД-стабильностью ванны, из которой следует, что наиболее стабильный режим работы соответствует форме рабочего пространства, при которой настель подводится под проекцию крайних анодов на дно ванны. В нашем случае это означает, что существует оптимальное значение α , определяющее выпуклость настели (соответственно гарнисажа).

Авторы считают, аналогичные выводы можно сделать и в случае решения трехмерной задачи на собственные значения. Это основывается на выводах из исследований, которые обсуждаются в [6]. В [6] показано, что результаты исследования МГД-стабильности реальной

электролизной ванны, полученные по двум различным математическим моделям, 2-ой и 3-ей, фактически совпадают. Первая математическая модель является двумерной, при этом моделирование проводилось в некоторых средних слоях каждой из сред отдельно (в среде электролита и в среде металла), которые на границе раздела связаны вязким трением. Вторая математическая модель является трехмерной двухфазной и соответствует реальной геометрии конкретной электролизной ванны. В [6] было показано, что вывод о существовании "средних слоев" в каждой из двух сред вполне обоснован и что результаты исследования МГД-стабильности ванны, полученные по двумерной модели, хорошо коррелируют с результатами, которые получены по трехмерной модели. Поэтому естественно предположить, что результаты о разделенности спектра трехмерной задачи на собственные значения будут аналогичны результатам о разделенности спектра, полученным в двумерной задаче на собственные значения. Таким образом исследование разделенности спектра трехмерной задачи на собственные значения позволит заранее определить оптимальную форму рабочего пространства, которая будет соответствовать наибольшей МГД-стабильности ванн.

Литература

1. *V.V. Bojarevics, M.V. Romero* Long waves instability of liquid metal-electrolyte interface in aluminium electrolysis cells: a generation of Sele's criterion // *Eur. J. Mech. B/ Fluids*, 1994 Vol.13, №1. P.33-56
2. *P.A. Davidson, R.J. Lindsay* // Stability of interfacial waves in aluminium reduction cells *J. Fluid Mech/* 1998, vol.362. p.273-295
3. *И.Н. Коростелев, Т.В. Пискажова, О.Г. Проворова, В.В. Синельников* // Разработка методики использования критерия устойчивости Бояревича – Ромерио в алгоритмах АСУТП электролиза алюминия. Вестник Красноярского государственного Университета. Физико-математические науки. - ИЦ КрасГУ. – 2005. Вып 3. - С. 118-124.
4. *А. В. Алаторцев, Р. Н. Кузьмин, О. Г. Проворова, Н. П. Савенкова* // Динамическая модель магнитно-гидродинамического процесса в алюминиевом электролизере. Прикладная физика. 2004, №5, стр. 33-42

5. *Н. П. Савенкова, Р. Н. Кузьмин, О. Г. Проворова, А. В. Шобухов, С. В. Анпилов, С. А. Складчиков* // Двумерная и трехмерная математические модели электролиза алюминия // Динамика сложных систем. 2009, №2, стр.53-59
6. *Н. П. Савенкова, Р. Н. Кузьмин, О. Г. Проворова, С. В. Анпилов, Т. В. Пискажова* // Двумерная и трехмерная модель алюминиевого электролизера // Прикладная математика. 2011, №6, стр.25-33
7. *А. Н. Тихонов, А. А. Самарский* Уравнения математической физики. Изд. 6-е, испр. и доп. — М.: Изд-во Моск. ун-та, 1999. — 742 с.
8. *А. А. Самарский* Теория разностных схем. — 3-е изд. — М.: Наука, 1989.— 656 с.
9. *Л. Коллатц* Задачи на собственные значения с техническими приложениями. — М.:Наука, 1968. — 504 с.
10. *Дж. Х. Уилкинсон* Алгебраическая проблема собственных значений. — М.:Наука, 1970. — 564 с.